

# ЧИСЛЕННОЕ ИССЛЕДОВАНИЕ НАПРЯЖЁННО- ДЕФОРМИРОВАННОГО СОСТОЯНИЯ ТРЕХСЛОЙНЫХ ПЛАСТИН СЛОЖНОЙ КОНФИГУРАЦИИ

Хикматову Гулхаё

Навоийский государственный университет

**Аннотация:** В этом тезисе рассматриваются вопросы математического моделирования и численного анализа трёхслойных пластин сложной формы. Разработана вычислительная модель, позволяющая проводить оценку напряжённо-деформированного состояния многослойных конструкций с учётом различий в физических и механических свойствах слоёв. В работе использованы методы конечно-элементного анализа и численного интегрирования. Проведённые вычислительные эксперименты показали, что предложенный подход обеспечивает высокую точность расчётов и устойчивость алгоритма при моделировании сложных геометрических форм. Полученные результаты могут быть использованы при проектировании композитных материалов, а также в инженерных и строительных конструкциях, где важна надёжность многослойных элементов.

**Ключевые слова:** трёхслойные пластины, математическое моделирование, численный анализ, конечно-элементный метод, напряжённо-деформированное состояние, вычислительный эксперимент, композитные материалы, сложная конфигурация.

В последние годы вопрос повышения термического сопротивления и упругого поведения стен и других ограждающих конструкций решается переходом к трехслойным конструкциям.

Трёхслойные пластины являются частным случаем многослойных пластин, математические модели которых полученные согласно вариационному принципу Гамильтона – Остроградского приведено в работе:

$$\delta \int_t (K - \Pi + A) dt = 0$$

где  $K$  – кинетическая энергия системы,  $\Pi$  – потенциальная энергия системы,  $A$  – потенциал внешних сил,  $\delta$  – операция варьирования.

Математические модели  $n$  слойных анизотропных пластин изучены в работе [1]. При  $n = 2$  рассмотрим частный случай, если материалы жестких слоев ортотропные с главными направлениями, совпадающими с направлением осей координат. Получаем уравнения равновесия для трехслойных пластин [2-4]:

$$\left\{ \begin{array}{l} \frac{\partial^2 v_1^{(1)}}{\partial y^2} + \frac{A_{(1)}^{(1)} b^2}{A_{(2)}^{(1)} a^2} \frac{\partial^2 v_1^{(1)}}{\partial x^2} + \frac{A_{(3)}^{(1)} b}{A_{(2)}^{(1)} a} \frac{\partial^2 v_2^{(1)}}{\partial x \partial y} + \frac{B_1 b^2}{A_{(2)}^{(1)} a} (v_1^{(2)} - v_1^{(1)}) + \frac{B_1 c b^2}{A_{(2)}^{(1)} a} \frac{\partial w}{\partial x} = -\frac{q_1^{(1)} b^2}{A_{(2)}^{(1)} h}, \\ \frac{\partial^2 v_1^{(2)}}{\partial y^2} + \frac{A_{(1)}^{(2)} b^2}{A_{(2)}^{(2)} a^2} \frac{\partial^2 v_1^{(2)}}{\partial x^2} + \frac{A_{(3)}^{(2)} b}{A_{(2)}^{(2)} a} \frac{\partial^2 v_2^{(2)}}{\partial x \partial y} - \frac{B_1 b^2}{A_{(2)}^{(2)} a} (v_1^{(2)} - v_1^{(1)}) - \frac{B_1 c b^2}{A_{(2)}^{(2)} a} \frac{\partial w}{\partial x} = -\frac{q_1^{(2)} b^2}{A_{(2)}^{(2)} h}, \\ \frac{\partial^2 v_2^{(1)}}{\partial y^2} + \frac{A_{(1)}^{(1)} b^2}{A_{(2)}^{(1)} a^2} \frac{\partial^2 v_2^{(1)}}{\partial x^2} + \frac{A_{(3)}^{(1)} b}{A_{(2)}^{(1)} a} \frac{\partial^2 v_1^{(1)}}{\partial x \partial y} + \frac{B_1 b^2}{A_{(2)}^{(1)} a} (v_2^{(2)} - v_2^{(1)}) + \frac{B_1 c b}{A_{(2)}^{(1)} a} \frac{\partial w}{\partial y} = -\frac{q_2^{(1)} b^2}{A_{(2)}^{(1)} h}, \\ \frac{\partial^2 v_2^{(2)}}{\partial y^2} + \frac{A_{(1)}^{(2)} b^2}{A_{(2)}^{(2)} a^2} \frac{\partial^2 v_2^{(2)}}{\partial x^2} + \frac{A_{(3)}^{(2)} b}{A_{(2)}^{(2)} a} \frac{\partial^2 v_1^{(2)}}{\partial x \partial y} - \frac{B_1 h}{A_{(2)}^{(2)} a} (v_2^{(2)} - v_2^{(1)}) - \frac{B_1 c b}{A_{(2)}^{(2)} a} \frac{\partial w}{\partial y} = -\frac{q_2^{(2)} b^2}{A_{(2)}^{(2)} h}, \\ \frac{\partial^4 w}{\partial y^4} + \frac{D_1 b^4}{D_2 a^4} \frac{\partial^4 w}{\partial x^4} + \frac{2 D_3 b^2}{D_2 a^2} \frac{\partial^4 w}{\partial x^2 \partial y^2} - \\ - \frac{B c}{2 D_2} \left[ \frac{b^4}{a} \frac{\partial}{\partial x} (v_1^{(2)} - v_1^{(1)}) + b^3 \frac{\partial}{\partial y} (v_2^{(2)} - v_2^{(1)}) + c \left( \frac{b^4}{a^2} \frac{\partial^2 w}{\partial x^2} + b^2 \frac{\partial^2 w}{\partial y^2} \right) \right] = \frac{q_3 b^4}{2 D_2 h}. \end{array} \right. \quad ((1))$$

Здесь

$$D_\alpha = \frac{E_\alpha h^3}{12(1-\nu^2)}; \quad D_k = \frac{G h^3}{12}; \quad D_3 = 2D_k + \nu D_1; \quad A_\alpha^{(k)} = \frac{E_\alpha^{(k)} h}{(1-\nu^2)}; \quad A_k^{(k)} = G_{(k)} h_{(k)};$$

$$A_3^{(k)} = A_k^{(k)} + \nu A_1^{(k)}; \quad B = \frac{G(z)}{h}; \quad c = \frac{1}{2} (h_{(k)} - h_{[k]}); \quad (k = 1, 2, \alpha = 1, 2),$$

где  $w(x, y)$  – нормальное перемещение,  $v_1^{(k)}(x, y)$  и  $v_2^{(k)}(x, y)$  ( $k = 1, 2$ ) – тангенциальные перемещения,  $h$  – толщина пластины;  $E$  – модуль упругости;  $\nu$  – коэффициент Пуассона;  $q_1^{(1)}, q_1^{(2)}, q_2^{(1)}, q_2^{(2)}, q_3$  – внешние нагрузки.

Уравнение равновесия (1) в векторной – матричной форме запишем в виде

$$S U = Q,$$

где  $U(g_1^{(1)}, g_1^{(2)}, g_2^{(1)}, g_2^{(2)}, w)$  – перемещения,  $S$  – матрица – оператор, которая

имеет вид

$$S = S_1 \frac{\partial^4}{\partial x^4} + S_2 \frac{\partial^4}{\partial x^2 \partial y^2} + S_3 \frac{\partial^4}{\partial y^4} + S_4 \frac{\partial^2}{\partial x^2} + S_5 \frac{\partial^2}{\partial x \partial y} + S_6 \frac{\partial^2}{\partial y^2} + S_7 \frac{\partial}{\partial x} + S_8 \frac{\partial}{\partial y} + S_9 u.$$

Для решения поставленной задачи изгиба трехслойной пластины со



сложной конфигурацией применяем вариационный метод Бубнова – Галеркина [5-7].

Далее на основе этих значений определяются значения напряжений, моментов и усилий.

На построении последовательности координатных функций, удовлетворяющие граничные условия, используем структурный метод  $R$ -функций В.Л.Рвачева.

В общем случае структуру решений, построенную методом  $R$ -функций, можно представить в виде [5-7]:

$$g_1^{(1)} = g_1^{(1)}(\omega, U_1), \quad g_1^{(2)} = g_1^{(2)}(\omega, U_2), \quad g_2^{(1)} = g_2^{(1)}(\omega, U_3), \quad g_2^{(2)} = g_2^{(2)}(\omega, U_4), \quad w = w(\omega, U_5),$$

где

$$U_1 = \sum_{i=1}^n c_i^{(1)} \varphi_i^{(1)}, \quad U_2 = \sum_{i=1}^n c_i^{(2)} \varphi_i^{(2)}, \quad U_3 = \sum_{i=1}^n c_i^{(3)} \varphi_i^{(3)}, \quad U_4 = \sum_{i=1}^n c_i^{(4)} \varphi_i^{(4)}, \quad U_5 = \sum_{i=1}^n c_i^{(5)} \varphi_i^{(5)},$$

Здесь  $\omega$  – нормализованное уравнение границы области пластинки;

$\varphi_i^{(k)}$  ( $k = \overline{1,5}$ ) – некоторые полные (базисные) системы функций (степенной, тригонометрические полиномы и т.д.);  $c_i^{(k)}$  ( $k = \overline{1,5}$ ) – неопределенные коэффициенты структуры решений, подлежащие определению.

Рассмотрим изгиб жестко-защемленной и шарнирно-опертой трехслойной пластины, изображенной на рис.1.

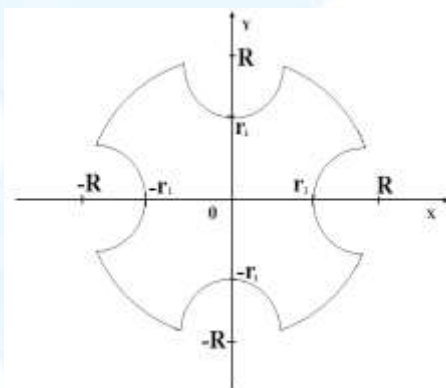


Рис.1. Круг с четырьмя  
вырезами

$$\text{sqr}(r1) \geq 0;$$

В этом случае  
нормализованные уравнения  
границы области имеют вид:

$$\begin{aligned} f1 &:= \text{sqr}(R) - \text{sqr}(x) - \text{sqr}(y) \geq 0; \\ f2 &:= \text{sqr}(x-R) + \text{sqr}(y) - \\ &\quad \text{sqr}(r1) \geq 0; \\ f3 &:= \text{sqr}(x) + \text{sqr}(y-R) - \\ &\quad \text{sqr}(r1) \geq 0; \\ f4 &:= \text{sqr}(x+R) + \text{sqr}(y) - \end{aligned}$$



$$f5:=\text{sqr}(x)+\text{sqr}(y+R)-\text{sqr}(r1)>=0;$$

$$\omega:=((f1 \text{ and } f2) \text{ and } f3) \text{ and } f4) \text{ and } f5,$$

где  $R$  – радиус большой окружности,  $r1$  – радиус высеченной окружности.

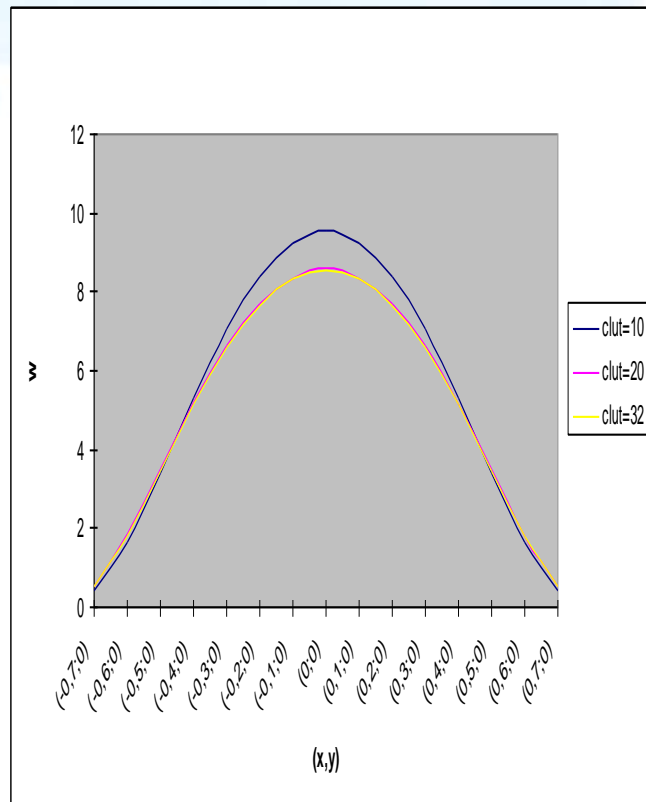
Для проведения вычислительного эксперимента в качестве исходных данных при решении данной задачи имеем:

$R=1m$ ,  $r1=0.2 m$ ,  $h=0.01 m$  (толщина),  $E_1/E_2=25$ ,  $G_1/E_2=0.5$ ,  $G_2/E_2=0.2$ ,  $\nu=0.25$  (коэффициент Пуассона),[8].

Рассматривая значения  $\bar{w}$  ( $\bar{w}=10^4 w$ ) по сечению ОХ ( $x, y=0$ ), проведем численное исследование алгоритма расчета изгиба трехслойной пластины при жестко-защемленном граничном условии и координатах равных 10 (т.е.  $N=(nk+1)(nk+2)/2$ , где  $nk=3$ ) и постоянных значения узлов Гаусса при вычислении двукратных интегралов (т.е.  $slutoch=10,20,32$ ). Результаты расчета приведены в табл.1, график которого дается на рис.2 соответственно.

Табл.1

(x,y)	clut=1	clut=2	clut=3
(-0,7;0)	0,4183	0,5241	0,5114
(-0,6;0)	1,6409	1,8372	1,804
(-0,5;0)	3,3908	3,5081	3,4613
(-0,4;0)	5,2991	5,1833	5,1329
(-0,3;0)	7,045	6,6254	6,5785



(-0,2;0)	8,4063	7,7023	7,6616
(-0,1;0)	9,259	8,3581	8,3227
(0;0)	9,5485	8,5778	8,5443
(0,1;0)	9,2596	8,3592	8,3238
(0,2;0)	8,4052	7,7027	7,662
(0,3;0)	7,0388	6,6225	6,5758
(0,4;0)	5,2869	5,1758	5,1259
(0,5;0)	3,3756	3,4981	3,4522
(0,6;0)	1,6295	1,83	1,7976
(0,7;0)	0,415	0,523	0,5106

Рис.2 Значения  $\bar{w}$  ( $\bar{w}=10^4 w$ ) по сечению ОХ  
(x, y=0) при  $nk = 3$

Анализ численного исследования по полученным результатам показывает, что применение метода R-функций в комбинации с вариационным методом Бубнова – Галеркина при решении поставленной задачи расчета колебания трехслойных пластин со сложной конфигурацией вполне оправдан и дает хорошие результаты.

### Литература

- [1]. Назиров Ш.А., Жумаев С.С. Математическая модель колебания многослойных пластин // Вопросы вычисл. и прикл. математики: Сб. науч. труд. – Ташкент, ИМИТ АН РУз, 2010.- вып. 124. – с. 64-79
- [2]. Болотин В.В. Новичков Ю.Н. Механика многослойных конструкций.- М. : Машиностроение. 1980. – 375 с.
- [3]. Васидзу К. Вариационные методы в теории упругости и пластичности.- М.: Мир, 1987.-542с.

- [4]. Образцов И.Ф.Савельев Л.М.Хазанов Х.С. Методы конечных элементов и задач строительной механики летательных аппаратов.- М.: Высшая школа, 1985. – 392с.
- [5]. Рвачев В.Л. Теория R-функций и некоторые ее приложения. Киев: Наукова думка, 1982. – 552с.
- [6]. Михлин С.Г. Вариационные методы в математической физике. М.: Наука, 1970 г. - 512с.
- [7]. Гантмахер Ф.Р. Теория матриц.- М.: Наука, 1988. – 552 с.
- [8]. Курпа Л.В. Метод R-функций для решения задач изгиба и колебаний пологих оболочек.- Харьков: НТУ «ХПИ», 2009. – 408 с